



## ترازش حوزه زمانی برای سیستمهای OFDM متغیر با زمان بر اساس بیشینه کردن SINR

مریم سلطانپور<sup>۱,۲</sup>، حسین ضمیری<sup>۱</sup>، حسین خوشبین<sup>۱</sup>

۱- دانشکده مهندسی، دانشگاه فردوسی مشهد

۲- مرکز پژوهشی مخابرات و کامپیوتر دانشکده مهندسی، دانشگاه فردوسی مشهد

maryam\_soltanpour\_60@yahoo.com, hzamiri@ferdowsi.um.ac.ir,khoshbin@ferdowsi.um.ac.ir

چکیده - در سیستمهای مخابرات سیار مبتنی بر OFDM به سبب طبیعت متغیر با زمان کanal، پدیده تداخل میان زیرحامملها (*ICI*) بوجود می آید. این پدیده باعث کاهش کارایی تکنیک OFDM می گردد. در این مقاله ناشی از متغیر با زمان بودن کanal با کمک بسط تیلور پاسخ ضربه کanal مدلسازی می گردد و سپس با استفاده از ترازگر میدان زمان، تداخل ناشی از *ICI* ترازش می گردد. طراحی ترازگر میدان زمان با ملاک بیشینه سازی *SINR* صورت می گیرد. نتایج شبیه سازیها افزایش کارایی سیستم OFDM مبتنی بر ترازگر میدان زمان را نشان می دهد.

واژه های کلیدی: تداخل بین زیر حاملها (*ICI*) ، ترازگر حوزه زمانی، سیستم OFDM

خاصی ارسال می گردد. در نتیجه در این تکنیک با انتخاب مناسب تعداد و فاصله زیر حاملها، کanal انتخابگر فرکانس به چند زیر کanal با تارکنندگی تخت تبدیل می شود. همچنین روش OFDM با افزون پیشوند چرخشی به ابتدای هر سمبول می تواند بر آثار مخرب کanal ناشی از <sup>۳</sup> *ICI* و <sup>۳</sup> ISI غلبه کند [۱].

لازمه انتقال اطلاعات در سیستمهای OFDM برخورد با منابع مختلف تداخل در این سیستمهای می باشد که برای انجام این کار نیاز به طراحی ترازگرهایی است تا بتوان به این مشکلات کanal غلبه نموده و امکان ارسال مطمئنی را فراهم کرد.

عمده ترین نوع تداخل که بر اثر گسترش تاخیر کanal بوجود می آید، شامل تداخل میان زیر حاملها (*ICI*) و تداخل میان سمبولها (ISI) می باشد. این تداخل با انتخاب مناسب طول پیشوند چرخشی در روش OFDM که به عنوان محافظت در برابر پراکنندگی سمبولهای OFDM مجاور مورد استفاده قرار می گیرد،

### ۱- مقدمه

توسعه روز افزون ارتباطات در جوامع بشری طی سالهای اخیر موجب افزایش نیاز به سیستم های دقیق و سریع مخابراتی شده است، به طوری که پاسخگویی به این نیازها دیگر با کمک فن آوریهای رایج به هیچ وجه ممکن نیست و برای رویارویی با مشکلات موجود باید به دنبال سیستمهای جدیدی بود که قابلیت گذردهی بیشتر و احتمال خطای کمتری داشته باشند.

یکی از سیستم هایی که در چند سال اخیر توجه بسیاری از پژوهشگران را به خود جلب کرده و در استانداردسازی سیستم های مخابراتی جدید نیز جایی برای خود باز کرده، «تسهیم فرکانسی متعامد» یا به اختصار <sup>۱</sup> OFDM است.

OFDM یکی از روش های مخابرات چند حاملی و شاید مهمترین آنهاست. اصل کلی مشترک در میان همه سیستم های چند حاملی این است که ابتدا جریان بزرگ داده ها به چندین جریان کوچک تر تقسیم شده و سپس هر جریان در فرکانس

<sup>2</sup> Inter Carrier Interference

<sup>3</sup> Inter Symbol Interference

<sup>1</sup> Orthogonal Frequency Division Multiplexing

اگر بردار کانال کل (مجموع کانال و ترازگر) را به صورت  $\mathbf{g} = [g_0^{(t)} \ g_1^{(t)} \ \dots \ g_{L-1}^{(t)}]^T$  در نظر بگیریم، رابطه میان خروجی و ورودی  $\mathbf{x}$  در حوزه زمان را به صورت زیر می‌توان نوشت:

$$\mathbf{y} = \begin{bmatrix} y_0 \\ y_1 \\ \vdots \\ y_{N-1} \end{bmatrix} \quad \mathbf{x} = \begin{bmatrix} x_0 \\ x_1 \\ \vdots \\ x_{N-1} \end{bmatrix} \quad \mathbf{y} = \mathbf{G} \mathbf{x} \quad (1)$$

که در آن

$$\mathbf{G} = \begin{bmatrix} g_0^{(0)} & 0 & \dots & 0 & g_{L-1}^{(0)} & g_{L-2}^{(0)} & \dots & g_1^{(0)} \\ g_1^{(1)} & g_0^{(1)} & 0 & \dots & 0 & 0 & g_{L-1}^{(1)} & g_{L-2}^{(1)} & \dots & g_2^{(1)} \\ g_2^{(2)} & g_1^{(2)} & g_0^{(2)} & 0 & 0 & 0 & g_{L-1}^{(2)} & g_{L-2}^{(2)} & \dots & g_3^{(2)} \\ \vdots & \ddots & \ddots & \ddots & 0 & 0 & g_{L-1}^{(3)} & g_{L-2}^{(3)} & \dots & \vdots \\ g_{L-2}^{(L-2)} & g_{L-3}^{(L-2)} & \dots & g_0^{(L-2)} & 0 & 0 & g_{L-1}^{(L-2)} & g_{L-2}^{(L-2)} & \dots & 0 \\ g_{L-1}^{(L-1)} & g_{L-2}^{(L-1)} & \dots & g_0^{(L-1)} & 0 & 0 & g_{L-1}^{(L-1)} & g_{L-2}^{(L-1)} & \dots & 0 \\ \vdots & \ddots & \ddots & \ddots & 0 & 0 & g_{L-1}^{(N-1)} & g_{L-2}^{(N-1)} & \dots & g_0^{(N-1)} \end{bmatrix} \quad (2)$$

در رابطه فوق  $g_l^{(m)}$  معروف ضربه  $l$  ام کانال در لحظه  $t = mT$  می‌باشد که  $T$  زمان نمونه برداری است. قابل ذکر است که گرچه کانال در طول یک سمبول OFDM تغییر می‌کند اما در فاصله یک زیر سمبول OFDM (که  $\frac{1}{N}$  طول یک سمبول OFDM می‌باشد) کانال ثابت است.

اگر بردار ترازگر  $\mathbf{f}$  را به صورت  $\mathbf{f} = [f_0 \dots f_{M-1}]^T$  و بردار کانال  $\mathbf{c}$  را در لحظه  $t$  به صورت  $\mathbf{c} = [c_0(t) \dots c_{Lc-1}(t)]^T$  در نظر بگیریم، رابطه میان  $\mathbf{g}$  و  $\mathbf{f}$  به صورت زیر خواهد بود:

$$\mathbf{g} = \mathbf{c} * \mathbf{f}$$

$$g_l^{(m)} = \sum_{i=0}^{Lc-1} c_i(mT) f_{l-i} \quad l = 0, 1, \dots, L-1 \quad (3)$$

از طرفی کانال متغیر با زمان  $c_l(t)$  به صورت زیر تعریف می‌گردد:

$$c_l(t) = \sum_{i=0}^{Lc-1} h_i(t) \delta(l-i) \quad l = 0, 1, \dots, Lc-1 \quad (4)$$

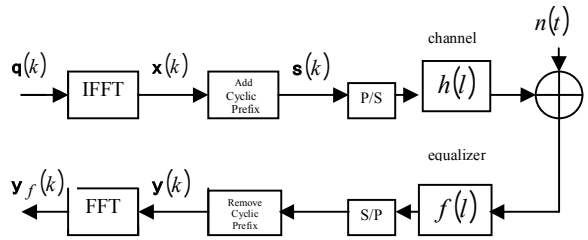
در روابط فوق  $Lc$  طول کانال،  $L=Lc+M-1$  طول کانال کل و  $M$  طول ترازگر می‌باشد.

می‌تواند به راحتی مرتفع گردد. اما نوع دیگری از تداخل ICI نیز وجود دارد که بر اثر تغییرات کانال با زمان بوجود می‌آید. برای این منظور نیازمند طراحی ترازگرهایی هستیم که بتوانند اثر این نوع تداخل را تا حد امکان کاهش دهند.[۲].

در این کار نیز تاکید بر روی تداخل بوجود آمده بر اثر تغییرات کانال می‌باشد. در اینجا ضرایب کانال به کمک سری تیلور بسط پیدا می‌کنند و ضرایب متغیر با زمان آن به صورت عوامل تداخل در کانال در نظر گرفته می‌شوند. هدف، طراحی ترازگری است که با توجه به وجود تداخل بتواند نسبت توان سیگنال به توان نویز و تداخل سیستم را در حوزه زمان افزایش دهد. ساختار مقاله بدین ترتیب است که بعد از مقدمه، مدل یک سیستم OFDM در بخش دو آورده می‌شود. در بخش سه الگوریتم پیشنهادی برای ترازش حوزه زمانی سیستم معرفی می‌گردد. شبیه سازیهای انجام شده بر اساس این الگوریتم و نتایج آنها در بخش چهار خواهد آمد و در پایان جمع بندی نتایج در بخش پنج ارائه می‌شود.

## ۲- مدل سیستم

مدل یک سیستم OFDM همراه با ترازگر آن در شکل ۱ نشان داده شده است. در این شکل  $\mathbf{q}(k) = [q_0(k), \dots, q_{N-1}(k)]^T$  معروف یک سمبول OFDM در حوزه فرکانس است که در آن عمل ترانهاده را نشان می‌دهد و  $\mathbf{x}(k) = [x_0(k), \dots, x_{N-1}(k)]^T$  تبدیل معکوس فوریه  $N$  تایی  $\mathbf{q}(k)$  می‌باشد.



شکل ۱: مدل یک سیستم OFDM همراه با ترازگر حوزه زمانی[۳].

که عناصر آرایه های آنها به ترتیب از  $g_{1l}$  و  $g_{2l}$  ها تشکیل شده است.

ماتریس  $G_1$  یک ماتریس چرخشی و ماتریس  $A$  یک ماتریس غیر چرخشی و مولد ICI می باشد.

در این کanal با توجه به اینکه طول پیشوند چرخشی ( $P$ ) و طول کanal با هم رابطه  $P \leq L-1$  را دارند، تداخل ناشی از سایر سمبلها (ISI) وجود ندارد.

### ۳- ترازش زمانی با ملاک بیشینه سازی SINR

در این قسمت، توان سیگنال و توان نویز و تداخل را مدل می کنیم و سپس ضرایب پاسخ ضربه ترازگر را با بیشینه کردن SINR بدست می آوریم.

$k$  امین سمبل OFDM در خروجی ترازگر به صورت زیر است:

$$\mathbf{y}(k) = G_1 \mathbf{x}(k) + A \mathbf{x}(k) \quad (9)$$

با تعریف  $\mathbf{y}_{ICI}(k) = A \mathbf{x}(k)$  و  $\mathbf{y}_s(k) = G_1 \mathbf{x}(k)$ ، توان سیگنال و توان ICI کanal به صورت زیر خواهد شد:

$$P_s = \text{trace}\left(G_1 E\left[\mathbf{x}(k) \mathbf{x}^H(k)\right] G_1^H\right) \quad (10)$$

$$P_{ICI} = \text{trace}\left(A E\left[\mathbf{x}(k) \mathbf{x}^H(k)\right] A^H\right)$$

اگر ماتریس  $W$  با عناصر  $w_{l,m}$  را به صورت

است، رابطه میان ورودی در حوزه زمان  $\mathbf{x}(k)$  و ورودی در حوزه فرکانس  $\mathbf{q}(k)$  به صورت زیر می باشد:

$$\mathbf{x}(k) = W^{-1} \mathbf{q}(k) \quad (11)$$

بطوریکه  $E(\mathbf{q}(k) \mathbf{q}^H(k)) = \sigma_q^2 I_N$ . با جایگذاری (11) در

$P_s$  و  $P_{ICI}$  به صورت زیر خواهند شد:

$$P_s = \text{trace}(G_1 E[W^{-1} \mathbf{q}(k) \mathbf{q}^H(k) W] G_1^H)$$

$$= \sigma_q^2 \text{trace}(G_1 G_1^H) = \sigma_q^2 N \sum_{l=0}^{L-1} |g_{1l}|^2 \quad (12)$$

$$P_{ICI} = \sigma_q^2 \text{trace}(A A^H)$$

$$= \sigma_q^2 \sum_{m=0}^{N-1} (m - \frac{Lc}{2})^2 \sum_{l=0}^{L-1} |g_{2l}|^2$$

کanal فوق را حول نقطه  $t = \frac{LcT}{2}$  به صورت سری تیلور بسط

می دهیم. اگر  $B_i^{(p)}$  را به صورت زیر تعریف کنیم:

$$B_i^{(p)} = \left( \frac{d^{(p)} h_i(t)}{d^{(p)} t} \right)_{t=\frac{LcT}{2}} \quad (5)$$

تقریب درجه ۱ کanal به صورت زیر خواهد شد:

$$c_l(t) = \sum_i \left[ B_i^{(0)} + B_i^{(1)} \left( t - \frac{LcT}{2} \right) \right] \delta(l-i)$$

$$c_l(mT) = \underbrace{\sum_i B_i^{(0)} \delta(l-i)}_{c_{1l}} + \underbrace{\left( m - \frac{Lc}{2} \right) \sum_{i=1}^{Lc-1} T B_i^{(1)} \delta(l-i)}_{c_{2l}}$$

در نتیجه مدل گسسته تقریب درجه یک کanal برابر است با:

$$c_l^{(m)} = c_{1l} + c_{2l} \left( m - \frac{Lc}{2} \right) \quad (6)$$

در رابطه بالا  $c_{1l}$  معرف بخش ثابت  $c_l^{(m)}$  و  $c_{2l} = \frac{Lc}{2}$  معرف بخش متغیر با زمان  $c_l^{(m)}$  می باشد. بنابراین عناصر کanal را نیز می توان با توجه به روابط بالا به صورت دو بخش ثابت  $g_{1l}$  و متغیر با زمان  $g_{2l} = (m - \frac{Lc}{2}) g_{1l}$  در نظر گرفت:

$$g_l^{(m)} = \sum_{i=0}^{Lc-1} c_i^{(m)} f_{l-i} = \sum_i c_{1i} f_{l-i} + \sum_i c_{2i} f_{l-i} \left( m - \frac{Lc}{2} \right)$$

$$= g_{1l} + \left( m - \frac{Lc}{2} \right) g_{2l} \quad (7)$$

بنابراین ماتریس  $G$  رابطه (1) به صورت زیر می گردد:

$$G = G_1 + \underbrace{\begin{bmatrix} 0 & -\frac{Lc}{2} \\ & 1 & -\frac{Lc}{2} \\ & & \ddots \\ & & & N-1 & -\frac{Lc}{2} \end{bmatrix}}_A G_2 \quad (8)$$

که در رابطه (8) ماتریسهای  $G_1$  و  $G_2$  از لحاظ ساختار مشابه ماتریس  $G$  نوشته شده در رابطه (2) می باشند با این تفاوت

برای بدست آوردن رابطه SINR لازم است که توان نویز را نیز در خروجی سیستم داشته باشیم. اگر نویز در خروجی ترازگر را به صورت  $\eta(k)$  نشان دهیم، با توجه به اینکه  $\eta(k) = \mathbf{n}(k)^* \mathbf{f}(k)$  می‌باشد می‌توانیم  $\eta(k)$  را به صورت ماتریسی  $\eta(k) = N(k) \mathbf{f}$  نشان دهیم، که در آن یک ماتریس  $N(k) \in N \times M$  می‌باشد که عناصر آن از نمونه‌های نویز گوسی جمع شونده  $\mathbf{n}(k)$  تشکیل شده‌اند، به طوریکه  $E[N(k)^H N(k)] = R_{nn}$  سیستم را می‌توان به صورت  $P_{noise} = \mathbf{f}^H R_{nn} \mathbf{f}$  نوشت.

با توجه به روابط بدست آمده، رابطه SINR به صورت زیر می‌باشد:

$$\begin{aligned} SINR &= \frac{P_s}{P_{ICI} + P_{noise}} = \frac{\sigma_q^2 N \mathbf{f}^H C H_1^H C H_1 \mathbf{f}}{\sigma_q^2 \sum_{m=0}^{N-1} (m - \frac{Lc}{2})^2 \mathbf{f}^H C H_2^H C H_2 \mathbf{f} + \mathbf{f}^H R_{nn} \mathbf{f}} \\ &= \frac{\mathbf{f}^H N C H_1^H C H_1 \mathbf{f}}{\mathbf{f}^H \left[ \sum_{m=0}^{N-1} (m - \frac{Lc}{2})^2 C H_2^H C H_2 + \frac{R_{nn}}{\sigma_q^2} \right] \mathbf{f}} = \frac{\mathbf{f}^H P \mathbf{f}}{\mathbf{f}^H Q \mathbf{f}} \end{aligned} \quad (16)$$

$$Q = \sum_{q=0}^{N-1} \left( q - \frac{Lc}{2} \right)^2 C H_2^H C H_2 + \frac{R_{nn}}{\sigma_q^2} \quad \text{که در آن } P = N C H_1^H C H_1 \text{ می‌باشد.}$$

رابطه فوق ارتباط میان SINR و ترازگر  $\mathbf{f}$  را نشان می‌دهد. هدف، تعیین مقدار  $\mathbf{f}$  برای ماکریمم کردن مقدار SINR می‌باشد. پس از انجام محاسبات لازم مقدار  $\mathbf{f}$  مورد نظر به صورت زیر بدست می‌آید.

$$\mathbf{f} = \Gamma^{-1} \mathbf{V}_{\min} \quad (17)$$

که  $\Gamma$  در رابطه  $P = \Gamma^H \Gamma$  صدق می‌کند و  $\mathbf{V}_{\min}$  نیز بردار ویژه معادل با کوچکترین مقدار ویژه ماتریس  $D = \Gamma^H Q \Gamma^{-1}$  می‌باشد.

#### ۴- نتایج شبیه سازیها

در انجام شبیه سازیها از مدل Jake برای تقریب یک کانال رایلی استفاده شده است. بر این اساس مقدار  $i$  امین ضربه کانال متغیر با زمان به صورت  $h_i(t) = \mu_i(\tau_i) v_i(t)$  می‌باشد که در

با فرض ثابت بودن ترازگر زمانی  $\mathbf{f}$  در طول یک سمبیل OFDM رابطه میان کanal کل  $\mathbf{g}^{(m)}$ ، کanal  $\mathbf{c}^{(m)}$  و ترازگر  $\mathbf{f}$  در بازه یک OFDM به صورت زیر است:

$$\mathbf{g}^{(m)} = \begin{bmatrix} g_0^{(m)} \\ g_1^{(m)} \\ \vdots \\ g_{L-1}^{(m)} \end{bmatrix} = \begin{bmatrix} c_0(mT) & 0 & \dots & \dots & \dots \\ c_1(mT) & c_0(mT) & 0 & \dots & \dots \\ \vdots & & & & \vdots \\ c_{L-1}(mT) & c_{L-2}(mT) & \dots & \dots & c_{L-M}(mT) \\ 0 & c_{L-1}(mT) & c_{L-2}(mT) & \dots & c_{L-M+1}(mT) \\ \vdots & & & 0 & c_{L-1}(mT) \end{bmatrix} \begin{bmatrix} f_0 \\ f_1 \\ \vdots \\ f_{M-1} \end{bmatrix} \quad (13)$$

با توجه به تعریف ماتریس  $CH^{(m)}$  در رابطه (13) و نیز تعریف  $\mathbf{c}_l^{(m)}$  در رابطه (6) می‌توان نوشت:

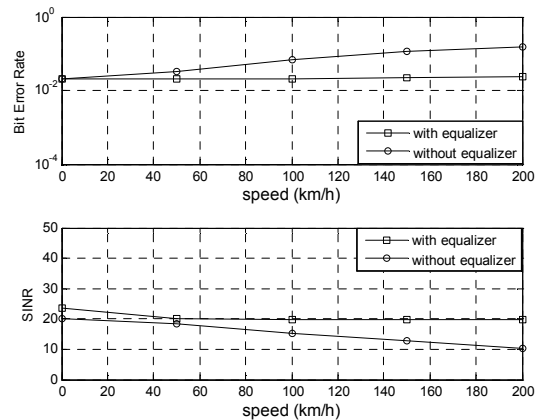
$$CH^{(m)} = CH_1 + (m - \frac{Lc}{2}) CH_2$$

بطوریکه  $CH_1$  و  $CH_2$  از لحاظ ساختار مشابه ماتریس  $CH$  می‌باشند با این تفاوت که عناصر آرایه‌های آنها به ترتیب از  $c_{1L}$  و  $c_{2L}$  تشکیل شده است. بنابراین ماتریس  $\mathbf{g}^{(m)}$  را می‌توان به صورت زیر نوشت:

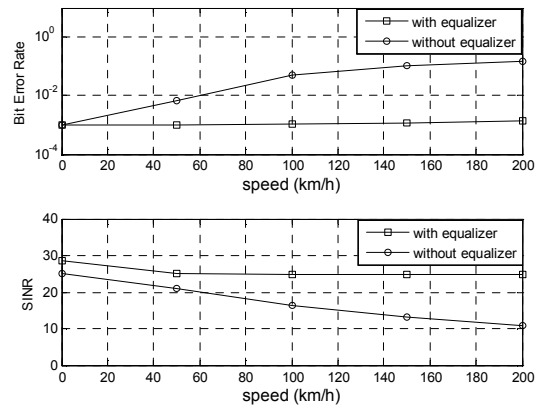
$$\begin{aligned} \mathbf{g}^{(m)} &= CH^{(m)} \mathbf{f} = CH_1 \mathbf{f} + \left( m - \frac{Lc}{2} \right) CH_2 \mathbf{f} \\ &= \mathbf{g}_1 + \left( m - \frac{Lc}{2} \right) \mathbf{g}_2 \\ &= \begin{bmatrix} g_{10} \\ g_{11} \\ \vdots \\ g_{1 L-1} \end{bmatrix} + \left( m - \frac{Lc}{2} \right) \begin{bmatrix} g_{20} \\ g_{21} \\ \vdots \\ g_{2 L-1} \end{bmatrix} \end{aligned} \quad (14)$$

بطوریکه  $\mathbf{g}_2 = CH_2 \mathbf{f}$  و  $\mathbf{g}_1 = CH_1 \mathbf{f}$  می‌باشند. با توجه به رابطه (14) مقادیر  $P_{ICI}, P_s$  به صورت زیر بدست خواهد آمد:

$$\begin{aligned} P_s &= \sigma_q^2 N \sum_{l=0}^{L-1} |g_{1l}|^2 = \sigma_q^2 N \mathbf{g}_1^H \mathbf{g}_1 = \sigma_q^2 \mathbf{f}^H C H_1^H C H_1 \mathbf{f} \\ P_{ICI} &= \sigma_q^2 \sum_{l=0}^{L-1} |g_{2l}|^2 \sum_{m=0}^{N-1} \left( m - \frac{Lc}{2} \right)^2 = \sigma_q^2 \mathbf{g}_2^H \mathbf{g}_2 \sum_{m=0}^{N-1} \left( m - \frac{Lc}{2} \right)^2 \\ &= \sigma_q^2 \sum_{m=0}^{N-1} \left( m - \frac{Lc}{2} \right)^2 \mathbf{f}^H C H_2^H C H_2 \mathbf{f} \end{aligned} \quad (15)$$



شکل ۲: نمودار احتمال خطای بیت و SINR بر حسب سرعت کاربر برای  $\text{SNR}=20\text{dB}$



شکل ۳: نمودار احتمال خطای بیت و SINR بر حسب سرعت کاربر برای  $\text{SNR}=25\text{dB}$

$$\text{و } v_i(t) = \frac{1}{N_J} \sum_{l=0}^{N_J-1} e^{2\pi j f_{iN_J+l}(t - \frac{LcT}{2})}, \mu_i(\tau_i) = e^{\frac{-\tau_i}{\tau_{rms}}} \cdot f_l = \left( \frac{v}{c} \right) f_c \cos \theta_l$$

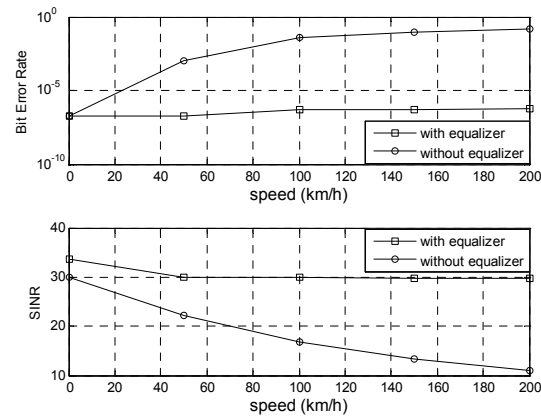
در روابط فوق  $\tau_{rms}$  میانگین مربعات گسترش تاخیر کانال و برابر با  $1.1\mu\text{s}$ ،  $v$  سرعت کاربر،  $c$  سرعت نور و  $f_c$  فرکانس حامل می باشد که برابر با  $2\text{ GHz}$  در نظر گرفته شده است. همچنین زوایای  $\theta_l$  با فواصل مساوی در بازه  $[0, 2\pi]$  قرار گرفته اند.

نتایج شبیه سازی، عملکرد این روش را برای یک کانال متغیر با زمان با طول  $64\text{m}$ ، تعداد زیر حامل  $256$ ، مدولاسیون  $\text{SNR}=25\text{dB}$ ،  $\text{SNR}=20\text{dB}$  و  $64\text{-QAM}$  به ترتیب در شکلها ۲، ۳ و ۴ نشان می دهد. طول ترازگر برابر با  $65\text{m}$  می باشد.

قابل ذکر است که در انجام شبیه سازیها طول پیشوند چرخشی بزرگتر از طول کانال در نظر گرفته شده است تا تداخلهای ناشی از گسترش تاخیر کانال حذف شده و تنها اثر تغییرات کانال با زمان لحاظ شود.

در شکلها ۲، ۳ و ۴ نمودار احتمال خطای بیت و SINR بر حسب سرعت جابجایی کاربر رسم شده است، که نشان می دهد با استفاده از این روش مقدار SINR سیستم در سرعتهای بالا افزایش و احتمال خطای بیت کاهش یافته است.

همچنین این نمودارها نشان می دهند که با افزایش SNR افت احتمال خطای سیستم بیشتر میشود که این نشان دهنده بهبود عملکرد روش پیشنهادی ترازش حوزه زمانی با افزایش  $\text{SNR}$  می باشد.



شکل ۴: نمودار احتمال خطای بیت و SINR بر حسب سرعت کاربر برای .SNR=30dB

#### ۵- جمع بندی

نتایج حاصل از شبیه سازیها نشان می دهد که تعمیم روش ترازش حوزه زمانی به کانالهای متغیر با زمان، با وجود سادگی روش می تواند اثرات ناشی از تغییرات کانال را تا حد زیادی تعدیل کند و قابلیت اطمینان سیستم را افزایش دهد.

#### مراجع

- [1] M. I. Rahman, S. S. Das and F. Fitzek, OFDM Based WLAN Systems. Aalborg University, Center for TeleInFrastruktur, Tech. Rep. R-04-1002; v1.2, 2004.
- [2] S. Tomasin, A. Gorokhov and H. Yang, "Iterative Interference Cancellation and Channel Estimation for Mobile OFDM," IEEE Trans. Commun., vol. 4, No. 2, pp. 238-245. Jan 2005.
- [3] H. Zamiri-Jafarian, H. Khoshbin and S. Pasupathy, "Time-domain Equalizer for OFDM systems Based on SINR Maximization," IEEE Trans. Commun., vol. 53, No. 6, pp. 924-929, June 2005.
- [4] B. sheng, Y. Zhou and X. You, "An Equalization Technique for OFDM Systems in Fast-Fading Multipath Channels at Low SNR," IEICE Trans. Commun., vol. E89-B, No. 2, pp. 618-620, Feb 2006.